

Objetivo	Introducción	Base Teórica	Desarrollo del problema	Resultados	Conclusiones	Trabajos futuros
	○	○○○○	○○	○○○		
	○	○○○○	○	○		
			○○○			
			○○○			
			○○○○○○○			
			○			

Cálculo de flujo subterráneo generado por bombeo

Christian N. Pfarher, Juan Pablo Garbarino, Marina Castro
Trabajo práctico final de “Métodos numéricos y simulación”,
II-FICH-UNL.

13 de septiembre de 2010

Objetivo	Introducción	Base Teórica	Desarrollo del problema	Resultados	Conclusiones	Trabajos futuros
	○ ○	○○○○ ○○○○	○○ ○ ○ ○○○ ○○○ ○○○○○○○ ○	○○○ ○		

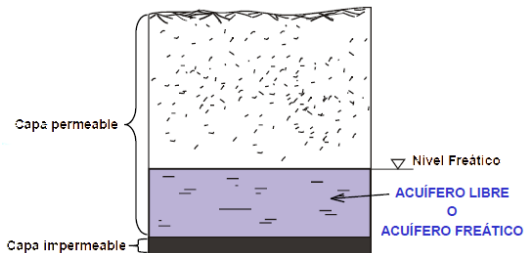
Objetivo

Simular el flujo, en un medio poroso (acuífero confinado, homogéneo e isótropo), generado por un par de bombas de extracción de agua en un campo de bombeo y comprobar la existencia o no de algún tipo de interacción entre los pozos de succión de agua.



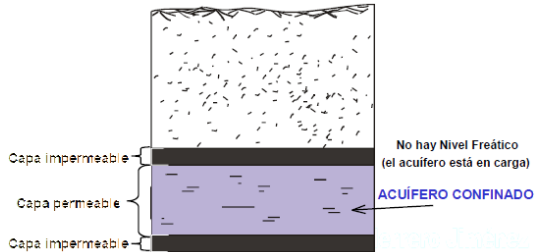
Acuífero libre o no confinado

Acuífero Libre o no confinado



Acuífero Confinado

- El caso del problema:



- Homogéneo
- Isótropo

Ecuación de Navier-Stokes

Objetivo	Introducción	Base Teórica	Desarrollo del problema	Resultados	Conclusiones	Trabajos futuros
	○	○●○○	○○	○○○		
	○	○○○○	○	○		
			○○○			
			○○○			
			○○○○○○○			
			○			

Ec. de Navier-Stokes

$$\rho \left(\frac{\partial u}{\partial t} + (u \bullet \nabla) u \right) + \nabla p - \nabla \bullet (\mu \nabla u) = \rho f \text{ en } \Omega \times (0, t) \quad (1)$$

$$\nabla \bullet u = 0 \text{ en } \Omega \times (0, t) \quad (2)$$

- $u = u(x, t)$: denota el vector velocidad,
- $p = p(x, t)$ el campo de presiones,
- ρ la densidad (constante),
- μ la viscosidad dinámica del fluido y
- f la aceleración volumétrica.

Objetivo	Introducción	Base Teórica	Desarrollo del problema	Resultados	Conclusiones	Trabajos futuros
	○	○○○● ○○○	○ ○ ○ ○ ○ ○ ○ ○	○○○ ○		

Ec. de Navier-Stokes

- $\Gamma = \partial\Omega$ denota la frontera del dominio Ω , siendo n el vector normal unitario
- g_1, g_2 los vectores tangentes de la frontera $\partial\Omega$,
- u_c es el campo de velocidad sobre Γ_D ,
- p_c la presión sobre Γ_P ,
- σ es el campo de tensiones,
- u_M el valor de la velocidad normal y
- u_0, p_0 los campos de velocidad y presión iniciales
- $\Gamma_D \cup \Gamma_P \cup \Gamma_M = \Gamma$.
 $\Gamma_D \cap \Gamma_P \cap \Gamma_M = \bigcirc$. , ya que un punto de la frontera puede ser parte de un único tipo de superficie, a menos que forme parte del borde entre dos de ellas.



Ley de Darcy

Expresa que el flujo de agua en un medio poroso, homogéneo e isotrópico es proporcional a la conductividad del medio poroso o conductividad hidráulica K y a una fuerza conductora o gradiente hidráulico i .

$$Q = K \frac{h_3 - h_4}{L} A = K \cdot i \cdot A \quad (8)$$

donde:

Objetivo	Introducción	Base Teórica	Desarrollo del problema	Resultados	Conclusiones	Trabajos futuros
	○	○○○○ ●○○○	○○ ○○ ○○○ ○○○ ○○○○○○○ ○	○○○ ○		

Ley de Darcy

Q = gasto, descarga o caudal en m^3/s ,

L = longitud en metros de la muestra,

K = una constante, actualmente conocida como coeficiente de permeabilidad de Darcy, variable en función del material de la muestra, en m/s ,

A = área de la sección transversal de la muestra, en m^2 ,

h_3 = altura, sobre el plano de referencia que alcanza el agua en un tubo colocado a la entrada de la capa filtrante,

h_4 = altura, sobre el plano de referencia que alcanza el agua en un tubo colocado a la salida de la capa filtrante,

$i = \frac{h_3 - h_4}{L}$ = el gradiente hidráulico.

Objetivo	Introducción	Base Teórica	Desarrollo del problema	Resultados	Conclusiones	Trabajos futuros
	○	○○○○ ○○○●	○○ ○ ○○○ ○○○ ○○○○○○○ ○	○○○ ○		

Ley de Darcy

- K depende tanto del medio como del propio fluido
- La parte que depende del fluido, normalmente es despreciable
 - viscosidad y peso específico del **agua** varían poco con la temperatura.
- A efectos prácticos asumimos: *conductividad hidráulica* (K de Darcy) es una característica del medio poroso.
- Cuando el valor de K es muy bajo o cuando las velocidades del flujo son muy altas → la relación entre el caudal y el gradiente hidráulico no es lineal
- En el flujo subterráneo las velocidades son muy lentas y prácticamente siempre la relación es lineal, salvo en las proximidades de captaciones bombeando en ciertas condiciones.

Objetivo	Introducción	Base Teórica	Desarrollo del problema	Resultados	Conclusiones	Trabajos futuros
	○ ○	○○○○ ○○○○	○○ ○ ○ ○○○ ○○○ ○○○○○○○ ○	○○○ ○		

- 2 geometrías: $G1$ y $G2$
- 2 simulaciones

Objetivo	Introducción	Base Teórica	Desarrollo del problema	Resultados	Conclusiones	Trabajos futuros
	○	○○○○	●○	○○○		
	○	○○○○	○	○		
			○○○			
			○○○			
			○○○○○○○			
			○			

Datos del problema

Geometría G1

- Discretización del área a modelar:
 - **Dominio:** $x = 100 \text{ [m]}, y = 100 \text{ [m]}$
 - Acuífero confinado, homogéneo e isótropo ($K_{xx} = K_{yy} = K_{zz}$)
 - Espesor del acuífero: 20 [m]
- Coordenadas de ubicación de los Pozos de bombeo:
 - Pozo Bombeo 1: $x = 17,5 \text{ [m]}, y = 77,5 \text{ [m]}$
 - Pozo Bombeo 2: $x = 65,0 \text{ [m]}, y = 22,5 \text{ [m]}$
- Caudal de bombeo:
 - Pozo Bombeo 1: $60 \left[\frac{m^3}{h} \right]$
 - Pozo Bombeo 2: $40 \left[\frac{m^3}{h} \right]$
- Diámetro del pozo 1 y 2: $0,5[m]$
- Profundidad del pozo 1 y 2: $15[m]$
- Resistencia de la ley de Darcy $k = 0.0000017 \text{ [1/m}^2\text{]}$

Objetivo	Introducción	Base Teórica	Desarrollo del problema	Resultados	Conclusiones	Trabajos futuros
	○	○○○○	○●	○○○		
	○	○○○○	○	○		
			○○○			
			○○○			
			○○○○○○○			
			○			

Datos del problema

Geometría G2

- Discretización del área a modelar:
 - **Dominio:** $x = 200$ [m], $y = 200$ [m]
 - Acuífero confinado, homogéneo e isótropo ($K_{xx} = K_{yy} = K_{zz}$)
 - Espesor del acuífero: 20 [m]
- Coordenadas de ubicación de los Pozos de bombeo:
 - Pozo Bombeo 1: $x = 30,0$ [m], $y = 135,0$ [m]
 - Pozo Bombeo 2: $x = 150,0$ [m], $y = 50,0$ [m]
- Caudal de bombeo:
 - Pozo Bombeo 1: $60 \left[\frac{m^3}{h} \right]$
 - Pozo Bombeo 2: $40 \left[\frac{m^3}{h} \right]$
- Diámetro del pozo 1 y 2: $0,5[m]$
- Profundidad del pozo 1 y 2: $15[m]$
- Resistencia de la ley de Darcy $k = 0.0000017 [1/m^2]$

Propiedades del medio y de los Materiales

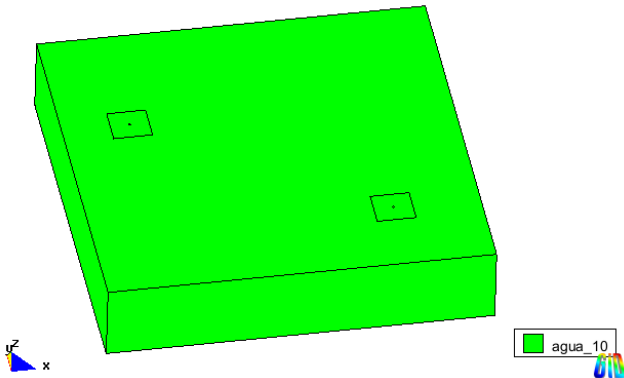


Figura: Material Suelo asignado a la geometría

V fixWall



Figura: Material Wall o Pared asignado a la geometría

Condiciones de Borde

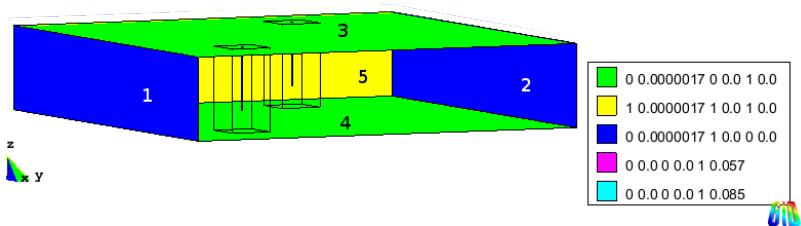
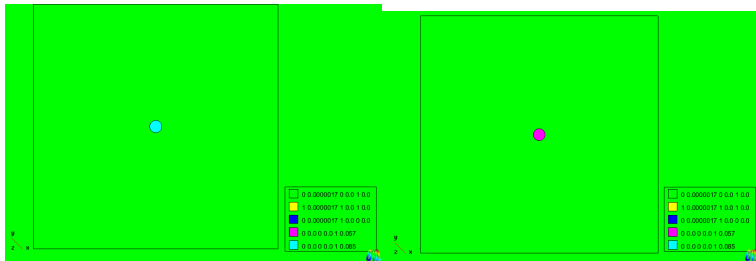


Figura: Velocidades Fijas

Condiciones de Borde





Condiciones de Borde

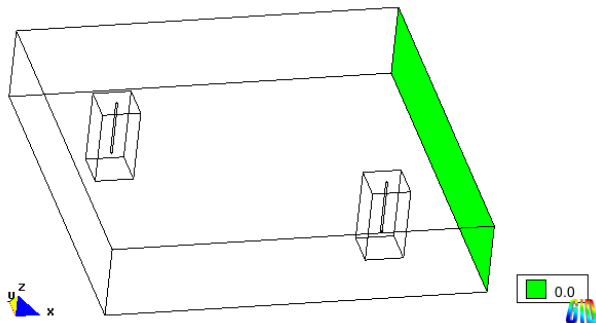


Figura: Condición fija de presión

G1

- Transición de tamaños no estructurados = 0,3.

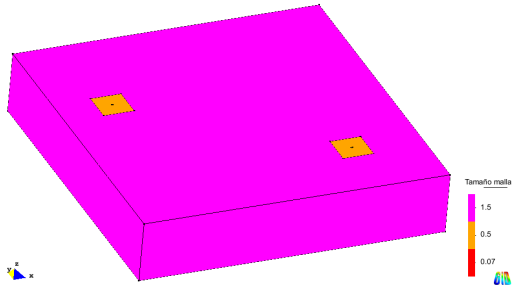


Figura: Tamaños de los elementos de la malla G1- Vista en perspectiva

G1

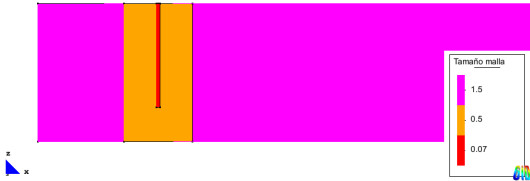


Figura: Tamaños de los elementos de la malla *G1*- Vista plano XZ

- Transición de tamaños no estructurados = 0,3.

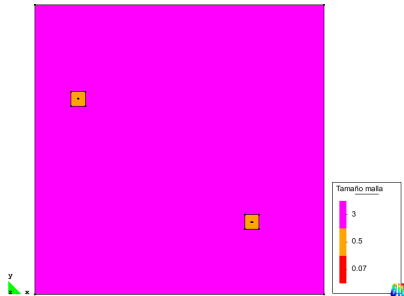


Figura: Tamaños de los elementos de la malla para G2- Vista plano XY

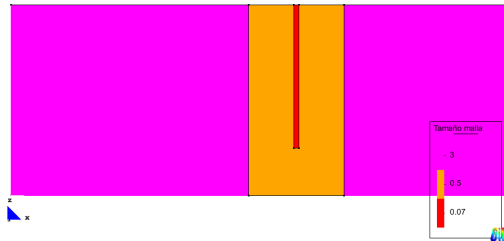


Figura: Tamaños de los elementos de la malla G2- Vista plano XZ

Objetivo	Introducción	Base Teórica	Desarrollo del problema	Resultados	Conclusiones	Trabajos futuros
	○ ○ ○	○○○○ ○○○○	○○ ○ ○○○ ○○○ ○○○ ○○○○●○○ ○	○○○ ○		

Mallado

Tipo/Geometría	G1	G2
Número de nodos:	122586	157619
Número de tetraedros:	659027	851671
Número de triángulos:	60952	70582
Número de elementos totales:	719979	922253

Cuadro: Cantidad de nodos, tetraedros, triángulos y elementos totales para *G1* y *G2*

Malla para G1

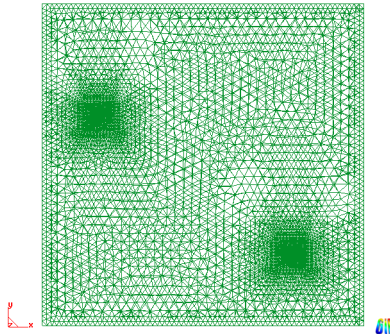


Figura: Mallado generada para G1- Vista plano XY

Malla para G2

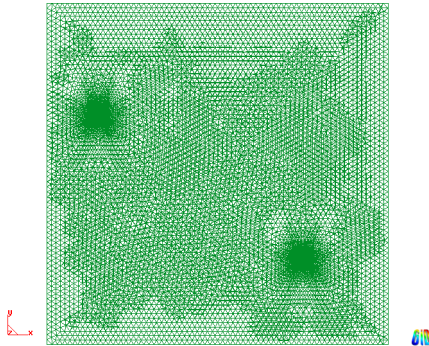


Figura: Mallado generada para G2- Vista plano XY

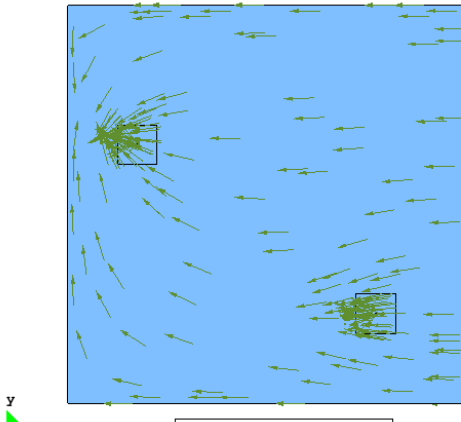
Objetivo	Introducción	Base Teórica	Desarrollo del problema	Resultados	Conclusiones	Trabajos futuros
	○ ○	○○○○ ○○○○	○○ ○ ○ ○○○ ○○○ ○○○○○○○ ●	○○○ ○		

Ejecución

- 1000 pasos
- $\Delta t = 10$ [s]
- 2 h., 46 m., 40 seg.

Resultados para G1

Vectores de velocidad



Resultados para G1

Presión

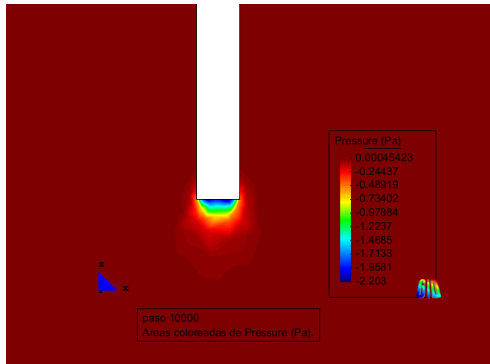


Figura: Presión pozo 1

Resultados para G1

Presión

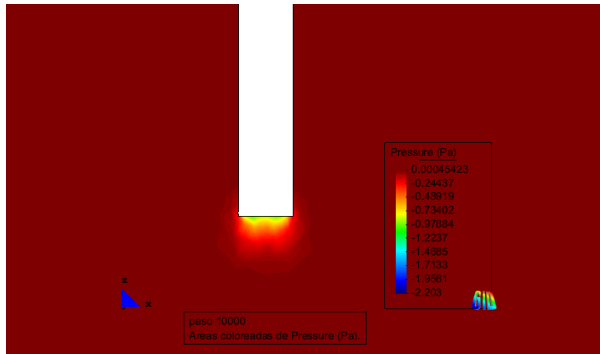


Figura: Presión pozo 2

Objetivo	Introducción	Base Teórica	Desarrollo del problema	Resultados	Conclusiones	Trabajos futuros
	○ ○	○○○○ ○○○○	○○ ○ ○ ○○○ ○○○ ○○○○○○○ ○	○○○ ●		

Resultados para G2

Obtención de parámetros óptimos para Hough

Objetivo	Introducción	Base Teórica	Desarrollo del problema	Resultados	Conclusiones	Trabajos futuros
	○ ○	○○○○ ○○○○	○○ ○ ○ ○○○ ○○○ ○○○○○○○ ○	○○○ ○		

Conclusiones

Objetivo	Introducción	Base Teórica	Desarrollo del problema	Resultados	Conclusiones	Trabajos futuros
	○ ○	○○○○ ○○○○	○○ ○ ○○○ ○○○ ○○○○○○○ ○	○○○ ○		

Trabajos futuros

Objetivo	Introducción	Base Teórica	Desarrollo del problema	Resultados	Conclusiones	Trabajos futuros
	○ ○	○○○○ ○○○○	○○ ○ ○○○ ○○○ ○○○○○○○ ○	○○○ ○		

d